

# شبیه‌سازی مدیریت گرمایی مواد نانو کامپوزیت تغییر فاز دهنده توسط فناوری CFD

عزیز باباپور<sup>\*</sup><sup>+</sup>، رضا پیشکار آذری

گروه مهندسی شیمی، دانشکده فنی و مهندسی، دانشگاه محقق اردبیلی، اردبیل، ایران

سید ایمان گلستانه

گروه مهندسی شیمی، دانشکده مهندسی شیمی، نفت و گاز، دانشگاه شیراز، شیراز، ایران

## زهره قاضی طباطبائی

گروه شیمی کاربردی، واحد اهر، دانشگاه آزاد اسلامی، اهر، ایران

**چکیده:** بحران انرژی در قرن حاضر، بشر را به فکر استفاده از منابع نوین انرژی رهنمون ساخته است. یکی از این منابع بسیار کارآمد، مواد تغییر فاز دهنده است. این مواد، افزون بر ذخیره‌ی انرژی به عنوان عایق‌های گرمایی نیز به کار می‌روند و استفاده از این مواد، نیاز به سامانه‌های ایمن‌سازی مصرف انرژی را نیز حذف می‌کند. این مواد با وجود همه برتری‌ها، مشکل‌هایی از جمله نشتی و کم بودن ضریب هدایت گرمایی دارند. درنتیجه استفاده از نانوذرهای فلزی می‌تواند ویژگی‌های آن‌ها را بهبود بخشد. در این پژوهش، ذوب شدن واکس پارافین دارای نانوذرهای  $ZnO$  و  $SiO_2$  ( $\text{Fe}_2O_3$  و  $Al_2O_3$ ) درصد وزنی ۲٪ و ۸٪ در یک محفظه‌ی مستطیلی شکل، به وسیله‌ی نرم‌افزار کامسول شبیه‌سازی شده است. تأثیر وجود نانوذرهای ذوب شوندگی موردن بر توزیع دما، توزیع سرعت، دانسیته، ضریب هدایت گرمایی و هم‌چنین چگونگی ذوب شوندگی مورد بررسی قرار گرفته‌اند. نتیجه‌ها نشان می‌دهد که با افزودن ۸٪ وزنی نانوذرهای ذوب شدن در حالت ۱۲.۵٪ افزایش داشته است. با ایجاد شرایط مرزی و اولیه‌ی یکسان برای همه‌ی حالت‌ها، میزان ذوب شدن در حالت ۸٪ وزنی نانوذرهای، بیش تر از ۲٪ و پارافین خالص است و این نشان می‌دهد که افزودن نانوذرهای به پارافین به منظور افزایش نرخ ذوب شدن برای هدف‌های گوناگون مدیریت گرمایی مانند ذخیره‌سازی انرژی می‌تواند مفید باشد.

**واژه‌های کلیدی:** مواد تغییر فاز دهنده؛ نانوذرهای؛ کامسول؛ پارافین؛ هدایت گرمایی.

**KEYWORDS:** Phase Change Materials (PCMs); Nanoparticles; Comsol; Paraffin; Heat Conduction.

## مقدمه

امروزه فناوری نانو، به عنوان یکی از فناوری‌های پیشتاز در عرصه‌ی جهانی ظهره کرده و بهینه‌سازی انرژی و مسائل زیست‌محیطی،

+E-mail: Babapoort@yahoo.com , babapoort@uma.ac.ir

\*عهده دار مکاتبات

مهندسی، هزینه‌های بالای تجهیزهای آزمایشگاهی و محدودیت استفاده از دستگاه‌های اندازه‌گیری در بسیاری از کاربردهای علمی، از جمله دلایلی هستند که استفاده از روش‌های تحلیلی و آزمایشگاهی را در مقایسه با روش‌های عددی محدود می‌کنند [۱۲، ۷].

وانگ<sup>(۲)</sup> و همکاران [۱۳]، تأثیرهای افزودن نانوذره  $TiO_2$  بر بهبود ویژگی‌های گرمایی واکس پارافین را بررسی کردند و اثر چشمگیر نانوذره‌ها را بر بهبود ضریب هدایت گرمایی گزارش کردند. هو و همکاران [۱۴] با استفاده از سورفتکتان غیریونی، نانوذره‌های  $Al_2O_3$  را در پارافین، پخش کردند و اثرهای افزودن نانوذره‌ها بر ویژگی‌های ترموفیزیکی پارافین را بررسی کردند. نتیجه‌ها نشان داد که بهبود چشمگیری در بیشتر ویژگی‌های ترموفیزیکی پارافین بهدست آمد است. ولان آراسو و همکاران [۱۵] تأثیر افزودن نانوذره‌های  $Al_2O_3$  را بر ویژگی‌های ترموفیزیکی پارافین، شبیه‌سازی کردند و متوجه شدند که نانوذره‌های آلومینوم اکسید ویژگی‌های گرمایی پارافین از جمله ضریب هدایت گرمایی را به میزان چشمگیری بهبود می‌بخشد.

با وجود برخی پژوهش‌ها، خلاصه بسیار اساسی در شبیه‌سازی مواد نانوکامپوزیت تغییرفازدهنده وجود دارد. در هیچ پژوهشی، شبیه‌سازی نانوذره‌های گوناگون با درصدهای وزنی گوناگون، گزارش نشده است. در پژوهش‌های پیشین، ویژگی‌های گوناگون گرمایی بررسی نشده است. در این پژوهش، اثرهای نانوذره‌های  $Al_2O_3$ ,  $Fe_2O_3$ ,  $SiO_2$  و  $ZnO$  (با درصد وزنی ۲٪ و ۸٪) در یک محفظه مستطیلی شکل، به وسیله نرمافزار کامسول شبیه‌سازی شده است. تأثیر وجود نانوذره‌ها با درصدوزنی متفاوت بر توزیع دما، توزیع سرعت، دانسیته، ضریب هدایت گرمایی و همچنین چگونگی ذوب‌شوندگی مورد بررسی قرار گرفته‌اند. نتیجه‌های شبیه‌سازی، بهبود چشمگیری در ویژگی‌های ترموفیزیکی و گرمایی را نشان می‌دهد که می‌تواند در بهینه‌سازی مدیریت گرمایی سامانه‌های گوناگون مورد استفاده قرار بگیرد.

## مدل‌سازی

### شکل هندسی مسئله

به منظور شبیه‌سازی با نرمافزار کامسول، یک محفظه مستطیلی شکل دو بعدی در اندازه‌ی  $15mm \times 20mm$  در نظر گرفته شده است که شکل ۲ این محفظه را نشان می‌دهد. دمای سطح

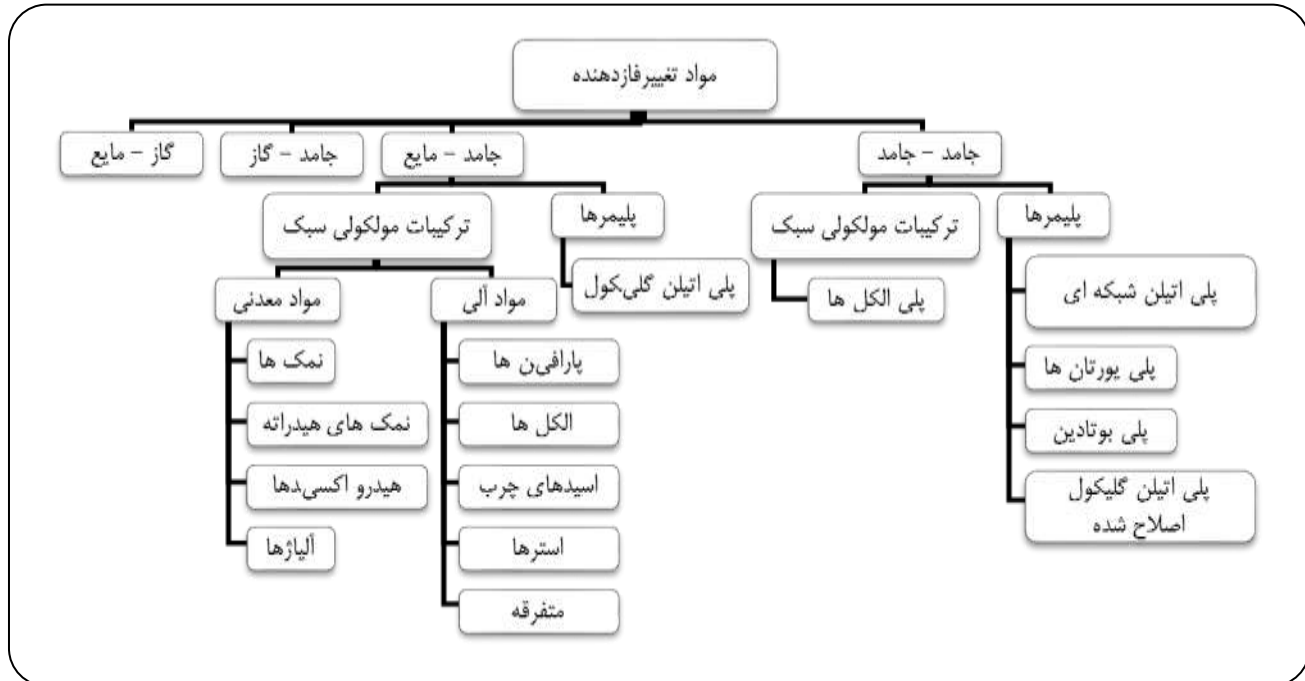
(۱) Phase Change Materials (PCMs)

همه کشورها اعم از صنعتی و در حال توسعه، استفاده بهینه از انرژی را در دستور کار خود قرار داده‌اند [۱، ۲]. کمبود ساختهای فسیلی و افزایش روزافرون مصرف انرژی در دنیای امروزی، لزوم بهینه‌سازی انرژی را بیش از پیش نمایان می‌سازد. درنتیجه استفاده از انرژی‌های نوین و سامانه‌های ذخیره‌سازی انرژی در سال‌های گذشته، مورد توجه بسیاری از پژوهشگران قرار گرفته است. از مهم‌ترین روش‌های ذخیره‌سازی انرژی گرمایی، استفاده از مواد تغییرفازدهنده (PCMs)<sup>(۱)</sup> هستند، موادی که در موقع لزوم تغییر فاز می‌دهند، انرژی را در شکل‌های گوناگون در خود ذخیره کرده و در موقع لزوم آزاد می‌کنند. مواد تغییرفازدهنده، قابلیت آن را دارند که این انرژی نهفته گرمایی (گرمای نهان ذوب و گرمای نهان انجماد) را بدون هیچ گونه تغییری حتی پس از هزاران چرخه تغییر فاز، درون خود حفظ نمایند. برای افزایش کارایی PCM‌ها، انواع نانومواد تغییرفازدهنده در مطالعه‌های گوناگونی مورد بحث و بررسی قرار گرفته‌اند که پارامترهایی مانند افزایش ضریب انتقال گرمای، افزایش ظرفیت گرمایی، پایداری گرمایی و شبیه‌سازی مدنظر بوده است. فناوری نانو و استفاده از نانومواد تغییرفازدهنده در این بین، با قابلیت جذب و ذخیره‌ی بالای انرژی گرمایی از روش‌های نوین این فناوری است [۳، ۱].

شکل ۱ انواع مواد تغییرفازدهنده را نشان می‌دهد. یکی از مواد تغییرفازدهنده مهم و کاربردی، پارافین‌هاستند. واکس‌های پارافینی به دلیل داشتن گرمای نهان بالا، فشار بخار پائین، پایداری شبیه‌سازی، بی‌اثر بودن و ارزان بودن گزینه مناسبی برای کاربرد به عنوان مواد تغییرفازدهنده هستند. پارافین‌ها به طور عموم هدایت گرمایی پائینی دارند، بنابراین بهبود هدایت گرمایی این مواد تغییرفازدهنده، برای افزایش انتقال گرمای، ضروری می‌باشد. یکی از بهترین روش‌ها برای بهبود ویژگی‌های گرمایی، افزودن نانوذره‌های گوناگون به پارافین و تولید نانوکامپوزیت است [۱۱-۳].

در حال حاضر، استفاده از روش‌های حل عددی و نرمافزارهای شبیه‌سازی در محاسبه‌های کامپیوتری، علوم و مهندسی کاربرد گسترده‌ای پیدا کرده‌اند و به عنوان ابزاری کارآمد در طراحی وسائل مهندسی به کار می‌روند. در دهه ۱۹۸۰ میلادی با همت پژوهشگران زیادی، نرمافزارهای شبیه‌سازی گوناگونی روانه بازار شدند. دقت این نرمافزارها توسط پژوهشگران زیادی مورد تأیید قرار گرفته است. پیچیدگی معادله‌های حاکم بر مسئله، تأثیر متغیرهای فیزیکی گوناگون، غیر پایا بودن بیشتر مسئله‌های

(۲) Wang



شکل ۱- طبقه‌بندی مواد تغییرفازدهنده [۵].

### فرضیه‌های مدل

- برای مدل‌سازی سامانه مورد نظر، فرضیه‌هایی برای ساده‌سازی به صورت زیر اعمال می‌شود [۱۶-۱۸]:
- جریان سیال پارافین ذوب شده، به صورت لایه‌ای بوده و تلفات به علت گرانزوی، ناچیز در نظر گرفته شده است.
  - ویژگی‌های فیزیکی مخلوط نانوکامپوزیت، تابعی از دما در نظر گرفته شده است.
  - انتقال گرما در این سامانه هم به صورت هدایتی و هم به صورت جابه‌جایی صورت می‌گیرد.
  - تغییر حجم کل سامانه، با فرایند ذوب پارافین ناچیز در نظر گرفته شده است.
  - پارافین ذوب شده، یک سیال نیوتونی فرض می‌شود.

### معادله‌های حاکم در وضعیت تک فازی

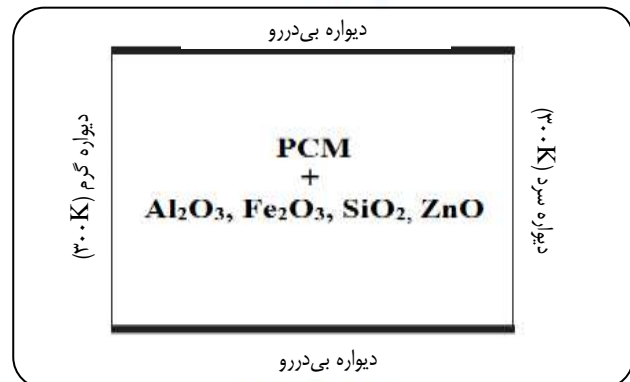
معادله‌های حاکم بر سامانه به صورت زیر می‌باشند [۱۶-۱۸]:

معادله‌ی پیوستگی:

$$\frac{\partial \rho}{\partial t} + \nabla \cdot (\rho \bar{U}) = 0 \quad (1)$$

معادله‌ی مومنتوم:

$$\frac{\partial \rho}{\partial t} (\rho \bar{U}) + \nabla \cdot (\rho \bar{U} \bar{U}) = -\nabla P + \rho \bar{g} + \nabla \cdot \bar{\tau} + \bar{F} \quad (2)$$



شکل ۲- هندسه سامانه.

سمت راست ۳۰۰ درجه کلوین و دمای سطح سمت چپ ۳۳۰ درجه کلوین قرار داده شده است. دو سطح بالا و پایین بی‌دررو در نظر گرفته شده است. مقدار درصد وزنی نانوذره‌های اکسید فلزی شامل  $\text{Fe}_2\text{O}_3$ ,  $\text{Al}_2\text{O}_3$ ,  $\text{SiO}_2$  و  $\text{ZnO}$  در واکس پارافین، ۲ درصد و ۸ درصد می‌باشد. فشار مرجع  $101.3 \text{ kPa}$  و دمای مرجع ۲۷۳ درجه کلوین است. با داشتن شرط اولیه ۳۰۰ درجه کلوین، پس از گذشت زمان ۴۲۰۰ ثانیه چگونگی ذوب شدن قابل دیدن می‌باشد. زمان در نظر گرفته شده برای اجرای برنامه، ۴۲۰۰ ثانیه می‌باشد تا در این مدت پارافین بتواند در حد مناسبی برای استخراج نتیجه‌ها، ذوب شود.

## مدل‌سازی ویژگی‌های ترموفیزیکی مواد تغییرفازدهنده

ویژگی‌های ترموفیزیکی مواد نانوکامپوزیت تغییرفازدهنده با توجه به ویژگی‌های مواد تغییرفازدهنده و نانوذره‌ها استفاده شده، از جدول ۱ و معادله‌های زیر به دست می‌آیند [۷، ۱۸]:

$$\rho_{npem} = \emptyset \rho_{np} + (1 - \emptyset) \rho_{np} \quad (10)$$

$$K_{npem} = \frac{K_{np} + 2K_{pcm} - 2(K_{pcm} - K_{np})\emptyset}{K_{np} + 2K_{pcm} + (K_{pcm} - K_{np})\emptyset} K_{pcm} + \quad (11)$$

$$5 \times 10^{-4} \beta_k \xi \emptyset \rho_{pcm} C_{pcm} \sqrt{\frac{BT}{\rho_{np} d_{np}}} f(T, \emptyset) \quad (12)$$

$$\beta_k = 8.4407(10 + \emptyset)^{-1.7304} \quad (12)$$

$$f(T, \emptyset) = \left( 2.8217 \times 10^{-3} \emptyset + 3.917 \times 10^{-3} \right) \frac{T}{T_{ref}} \quad (13)$$

$$(-3.0669 \times 10^{-3} \emptyset + 0.0391123) \quad (13)$$

$$\beta = 0 \quad \text{if} \quad T < T_{solidus} \quad (14)$$

$$\beta = 1 \quad \text{if} \quad T < T_{liquidus} \quad (15)$$

$$\beta = \frac{T - T_{solidus}}{T_{liquidus} - T_{solidus}} \quad \text{if} \quad T_{solidus} < T < T_{liquidus} \quad (16)$$

اختلاف میان نقطه‌ی شروع فرایند ذوب و نقطه‌ی پایان فرایند ذوب (بازه‌ی دمای ذوب) منجر به تعریف پارامتری به نام بتا ( $\beta$ ) می‌شود.  $\beta$  کسر مایع شدن پارافین می‌باشد که پیش از شروع ذوب صفر و پس از اینکه پارافین به طور کامل مایع شد، یک می‌باشد و در بازه‌ی ذوب شدن عددی بین صفر و یک است. ضریب بولتزمن می‌باشد که برابر با  $1.381 \times 10^{-33} \text{ J/K}$  می‌باشد. ضریب هدایت گرمایی، از مدل ماکسول و مدل حرکت برآونی پیروی می‌کند.  $\emptyset$  نشان دهنده‌ی کسر حجمی اکسید آلمینیوم در پارافین است [۱۷].

### انتخاب مدل فیزیکی

در این نرمافزار، مدل‌های فیزیکی گوناگونی به صورت پیش‌فرض برای بررسی انواع مسائل در اختیار کاربر قرار می‌گیرد. همچنین در مواردی که مدل سامانه مورد بررسی، در پیش‌فرض‌های نرمافزار وجود نداشته باشد امکان وارد نمودن مدل جدید، برای کاربر فراهم شده است. در این پژوهش، مدل انتقال گرمایی (۱) انتخاب شده است [۱۸].

معادله‌ی انرژی:

$$\frac{\partial(\rho H)}{\partial t} + \nabla \cdot (\rho \bar{U}H) = \nabla \cdot (K \nabla T) + S \quad (3)$$

معادله‌ی هدایت غیرپایا، حاکم بر تمامی لایه‌ها در حالت فاز می‌باشد. شایان ذکر است که به دلیل جریان نیافتن ماده تغییرفازدهنده و قرارگیری این مواد بین مواد دیگر که تغییر فاز نمی‌دهند، از انتقال گرمایی جابه‌جایی صرف‌نظر شده است.

$$k_n \frac{\partial^r T}{\partial x^r} = \rho_n C_n \frac{\partial T}{\partial t} \quad (4)$$

شرایط مرزی مسئله نیز، به صورت زیر در نظر گرفته شده‌اند که  $T_L$  دمای محیط بیرون و  $T_o$  دمای محیط درون است:

$$T(0, t) = T_o \quad (5)$$

$$T(L, t) = T_L(t) \quad (6)$$

در معادله‌های فوق  $k_n$  و  $C_n$  به ترتیب ضریب هدایت گرمایی، چگالی و ظرفیت گرمایی ویژه می‌باشند. با اعمال روش تفاضل‌های محدود بر معادله هدایت غیرپایا، بسط مرکزی برای مکان و بسط پیشرو برای زمان در درون هر یک از لایه‌ها به صورت زیر خواهد بود:

$$T_i^{j+1} = T_i^j + \frac{K_n \Delta t}{\rho_n C_n \Delta x^r} k_{pcm} (T_{i+1}^j - 2T_i^j + T_{i-1}^j) \quad (7)$$

برای فصل مشترک داخلی و خارجی نیز معادله هدایت غیرپایا به ترتیب به صورت زیر بیان می‌شوند:

$$T_i^{j+1} = T_i^j + \frac{2 \Delta t}{[(\rho c)_{ins} + (\rho c)_{pcm}] \Delta x^r} \times \quad (8)$$

$$[k_{ins} (T_{i-1}^j - T_i^j) + k_{pcm} (T_{i+1}^j - T_i^j)]$$

$$T_i^{j+1} = T_i^j + \frac{2 \Delta t}{[(\rho c)_{ins} + (\rho c)_{pcm}] \Delta x^r} \times \quad (9)$$

$$[k_{pcm} (T_{i-1}^j - T_i^j) + k_{ins} (T_{i+1}^j - T_i^j)]$$

در معادله‌های بالا،  $ziranouis_{pcm}$  نشان‌گر ماده تغییرفازدهنده و  $ziranouis_{ins}$  لایه‌ای عایق را نشان می‌دهد.

جدول ۱- ویژگی‌های ترموفیزیکی پارافین و نانوذرهای استفاده شده.

Al <sub>2</sub> O <sub>3</sub>	Fe <sub>2</sub> O <sub>3</sub>	SiO <sub>2</sub>	ZnO	واکس پارافین	خاصیت
۳۹۰۰	۵۲۴۰	۲۴۰۰	۵۶۰۶	۷۵۰/۰/۰۱(T-۳۱۹/۱۵)+۱	(kg/m <sup>3</sup> ) دانسیته
۴۱/۱	۶/۴	۲/۴	۲۱	۰/۲۱ if T < T <sub>solidus</sub> ۰/۱۲ if T > T <sub>liquidus</sub>	ضریب هدایت حرارتی (W/m K)
-	-	-	-	۱۷۳۴۰۰	گرمای نهان ذوب (J/kg)
-	-	-	-	۳۱۹	دماهی انجماد (K)
-	-	-	-	۳۲۱	دماهی ذوب (K)
۲۰	۲۰	۲۰	۵۰	-	اندازه نانوذرات (nm)

تغییرفازدهنده، باعث افزایش دماهی ذوب این نانوکامپوزیت‌ها می‌شود که اندازه‌ی مناسب و توزیع همگن نانوذرهای نیز، بر این تغییرهای دماهی می‌تواند تأثیرگذار باشد. همچنین با گذشت زمان برای درصدهای وزنی گوناگون نانوکامپوزیت‌ها، دما افزایش پیدا کرده و برای نانوکامپوزیت با درصدوزنی زیاد نانوذرهای، در قسمت بیشتری از سامانه، تغییرهای دماهی وجود دارد. مقایسه نمودارهای تغییرهای دماهی کامپوزیت‌ها نشان می‌دهد که تغییرهای دماهی در نانوکامپوزیت‌های SiO<sub>2</sub> و ZnO بیشتر از سایر نانوکامپوزیت‌ها می‌باشد. این می‌تواند به علت ساختار مناسب این نانوذرهای و توزیع یکنواخت آن‌ها در داخل پارافین باشد. درنتیجه می‌توان گفت از نظر تغییرهای دماهی، نانوکامپوزیت‌های ZnO و SiO<sub>2</sub> بهینه‌ترین نانوکامپوزیت‌ها بوده و می‌توانند در انتقال گرمای بیشتر در مدیریت گرمایی سامانه‌های گوناگون مورد استفاده قرار گیرند.

### ب) تغییرهای دانسیته

شکل‌های ۷، ۸، ۹ و ۱۰ به ترتیب نمودار تغییرهای دانسیته در حضور نانوذرهای آلومینیوم اکسید، آهن اکسید، سیلیس اکسید و روی اکسید با ۲٪ وزنی (الف و ب) و ۸٪ وزنی (ج و د) درون پارافین را در سه زمان متفاوت نشان می‌دهند.

همان‌گونه که در این شکل‌ها دیده می‌شود، با گذشت زمان، میزان دانسیته نانوکامپوزیت‌ها افزایش می‌باید. هر چه میزان بیشتری از پارافین ذوب شود حرکت مواد ذوب شده، بیشتر شده و برخورد آن‌ها با یکدیگر بیشتر می‌شود. و با افزایش درصدوزنی این نانوذرهای دانسیته افزایش می‌باید. که این مسئله، با توجه به دانسیته بالای نانوذرهای، قابل توجیه است.

### شرطی اولیه و مرزی

برای حل رابطه‌های مذکور، به شرایط مرزی و اولیه‌ی مناسبی نیاز است تا بتوان تابع توزیع دما را به دست آورد. نرم‌افزار کامسول نیز، برای حل عددی این رابطه و به دست آوردن دماهی تک‌تک نقطه‌های جسم، به شرایط مرزی مناسب نیاز دارد که کاربر باید آن را تعریف کند [۱۷]. در این پژوهش، مهم‌ترین شرط مرزی، به تبادل گرما از طریق دیواره سطوح و محیط اطراف آن مربوط می‌شود. هنگامی که یک صفحه داغ در مجاورت سیال قرار می‌گیرد گرما به روش جابه‌جایی مبادله می‌شود. در نتیجه بین دیواره‌ها و محیط، شرط مرزی زیر برقرار است:

$$n \cdot (k \nabla T) = h A (T_w - T_{\infty}) \quad (17)$$

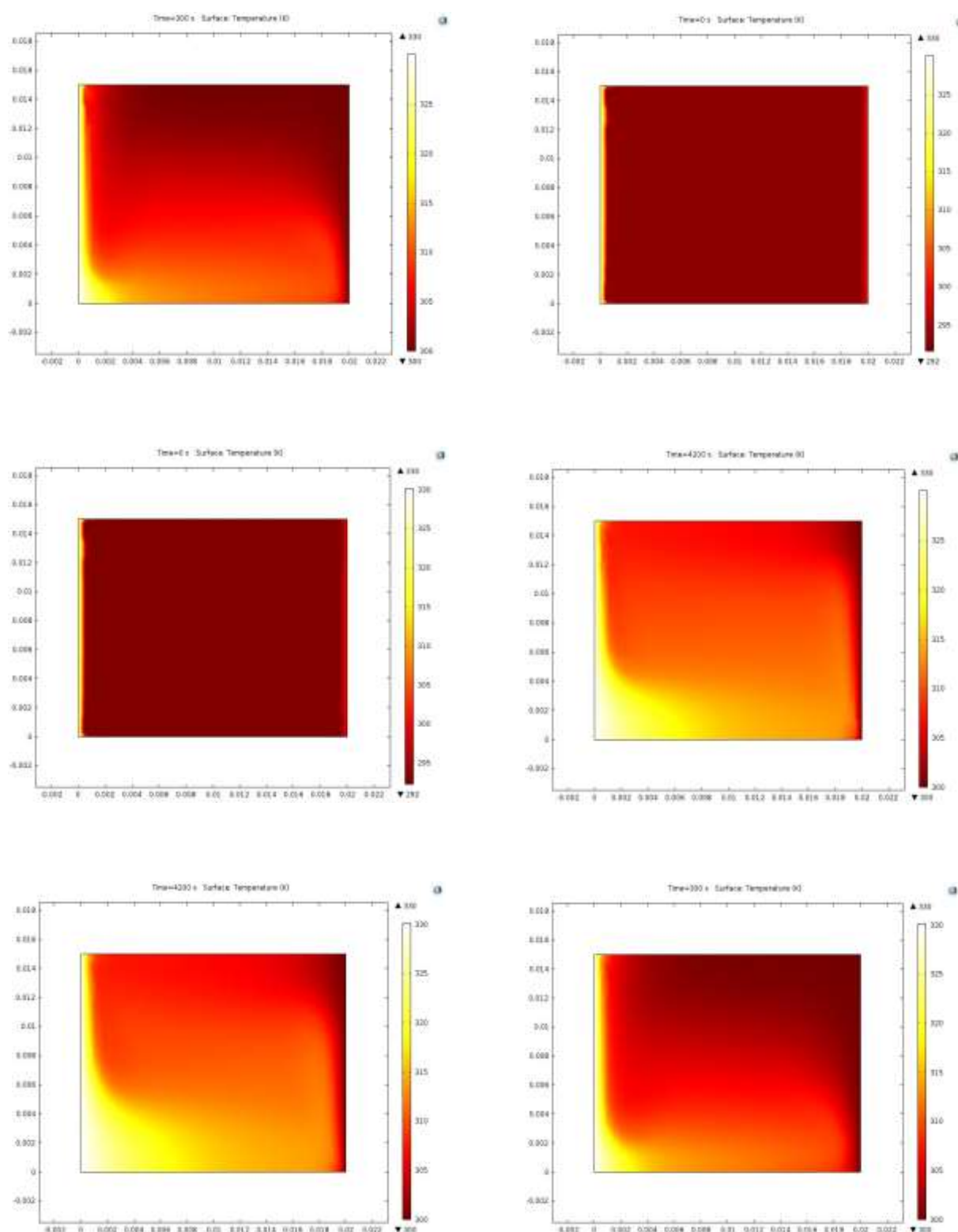
شرطی اولیه نیز برای این نرم‌افزار، تعریف می‌شود.

### نتیجه‌ها و بحث

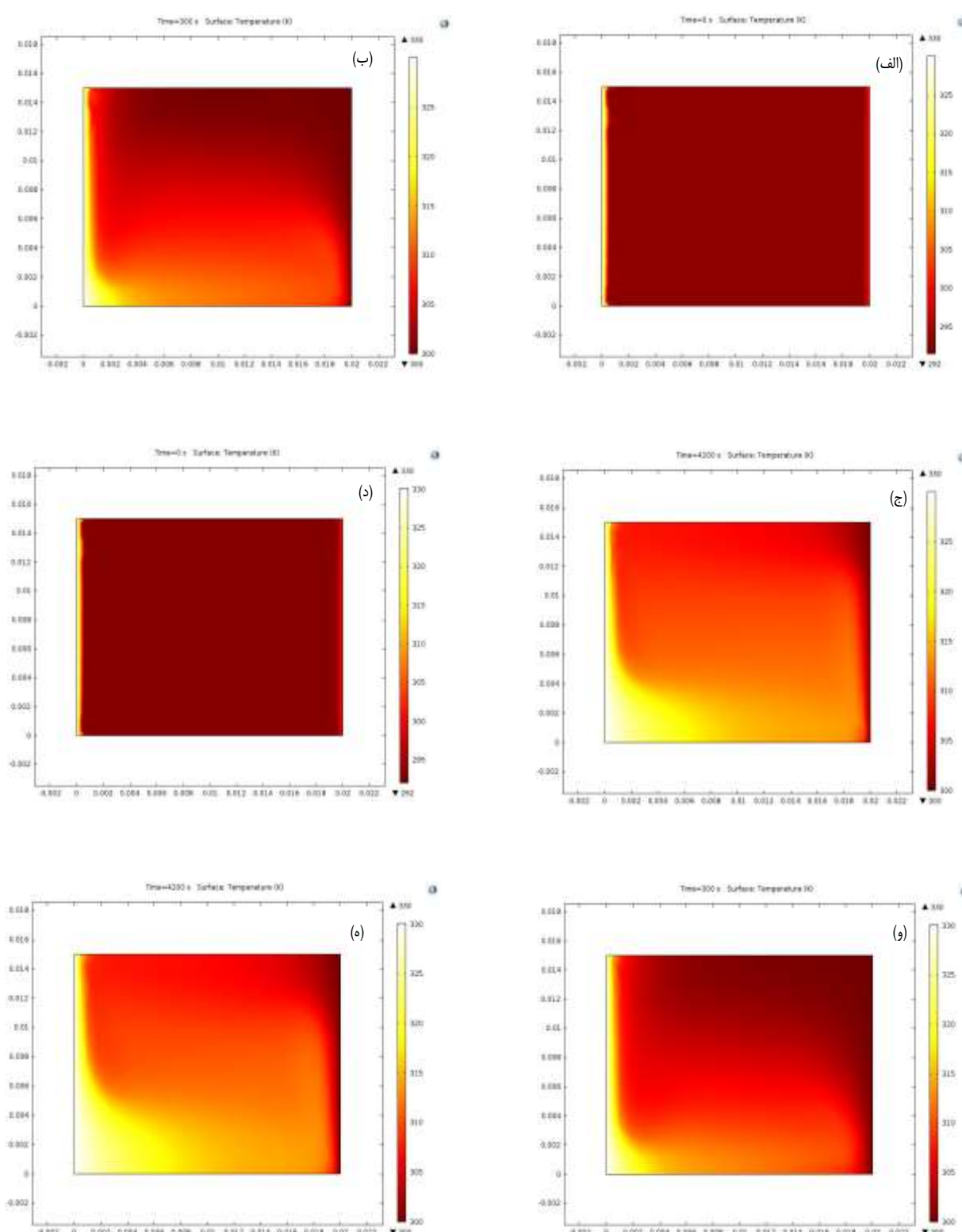
#### الف) توزیع دما

شکل‌های ۳، ۴، ۵ و ۶ به ترتیب نمودار توزیع دما در حضور نانوذرهای آلومینیوم اکسید، آهن اکسید، سیلیس اکسید و روی اکسید با ۲٪ وزنی (الف، ب، ج) و ۸٪ وزنی (د، و، ه) درون پارافین را در سه زمان متفاوت نشان می‌دهند.

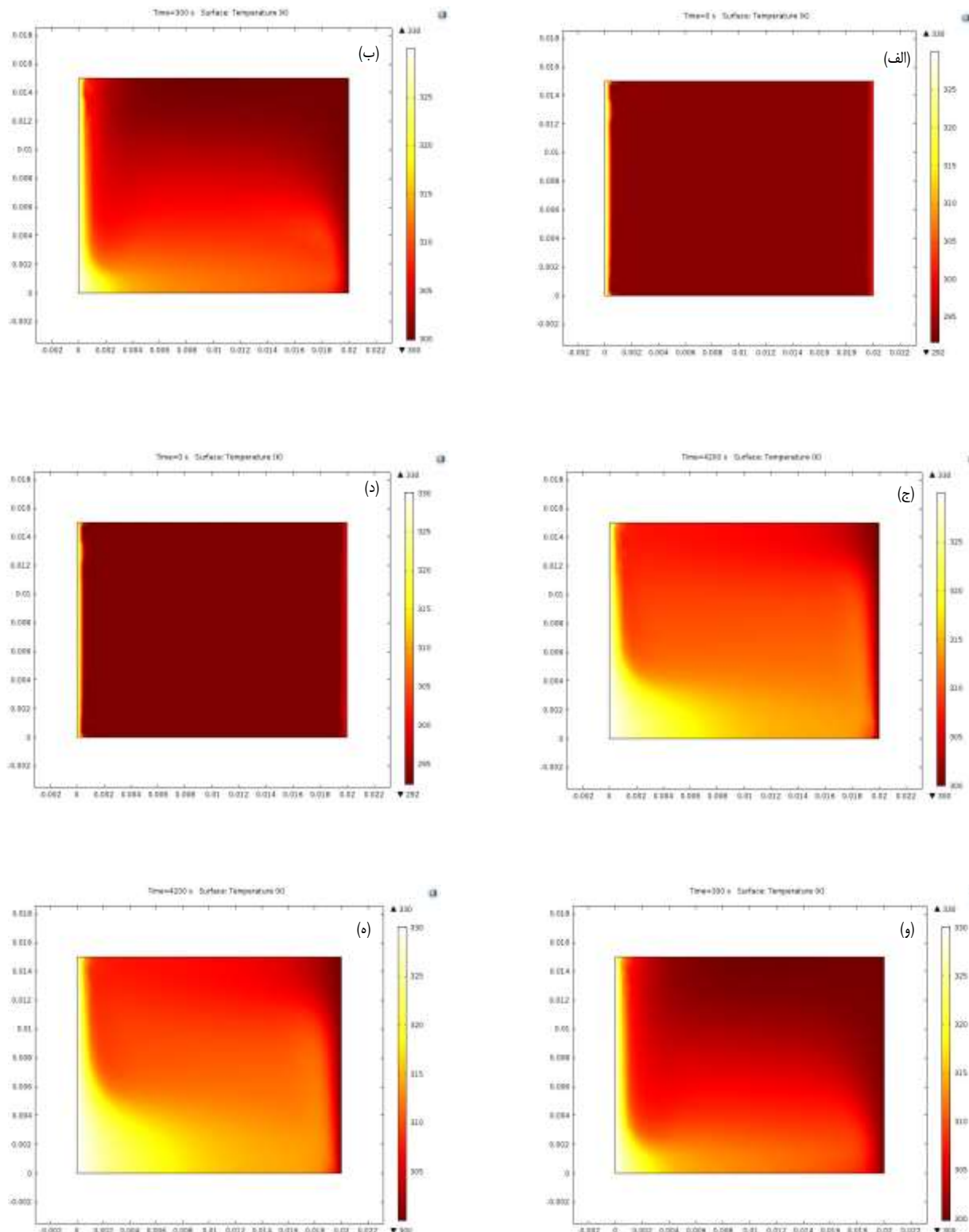
همان‌گونه که در این شکل‌ها دیده می‌شود، نخست نانوکامپوزیت‌ها جامد بوده و با گذشت زمان به تدریج، ذوب می‌شوند. با افزایش درصدوزنی نانوذرهای، دماهی ذوب افزایش می‌باید. دلیل این امر، این است که نانوذرهای اکسیدهای فلزی، ترکیب‌های معدنی هستند و دماهی ذوب بالایی دارند. افزایش درصدوزنی نانوذرهای اکسیدهای فلزی در درون نانوکامپوزیت‌های مواد



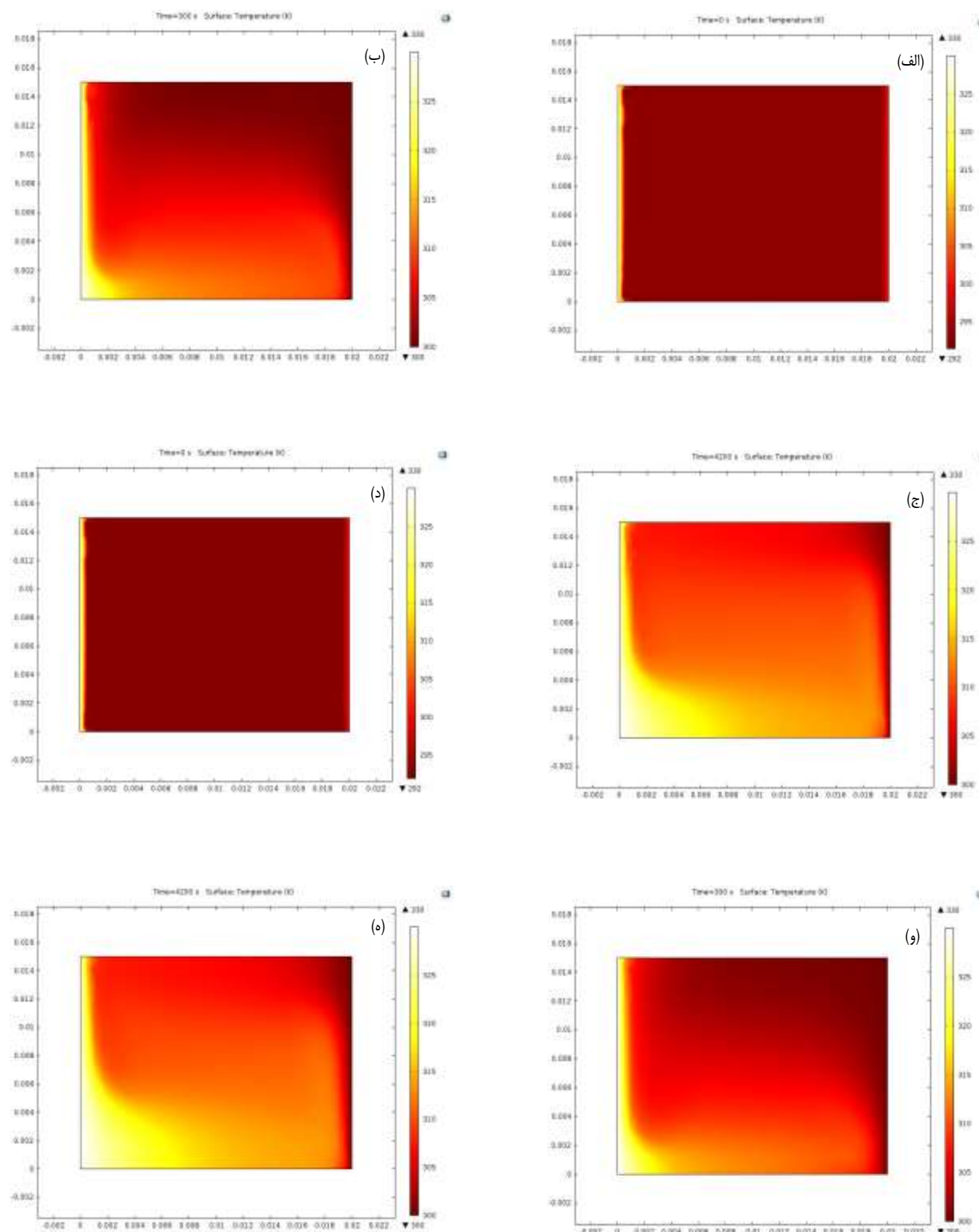
شکل ۳- توزیع دما در ۲٪ وزنی (الف، ب، ج) و ۸٪ وزنی (د، و، گ) نانو کامپوزیت آلومنیوم اکسید در زمان‌های صفر، ۳۰۰ و ۴۲۰۰ ثانیه.



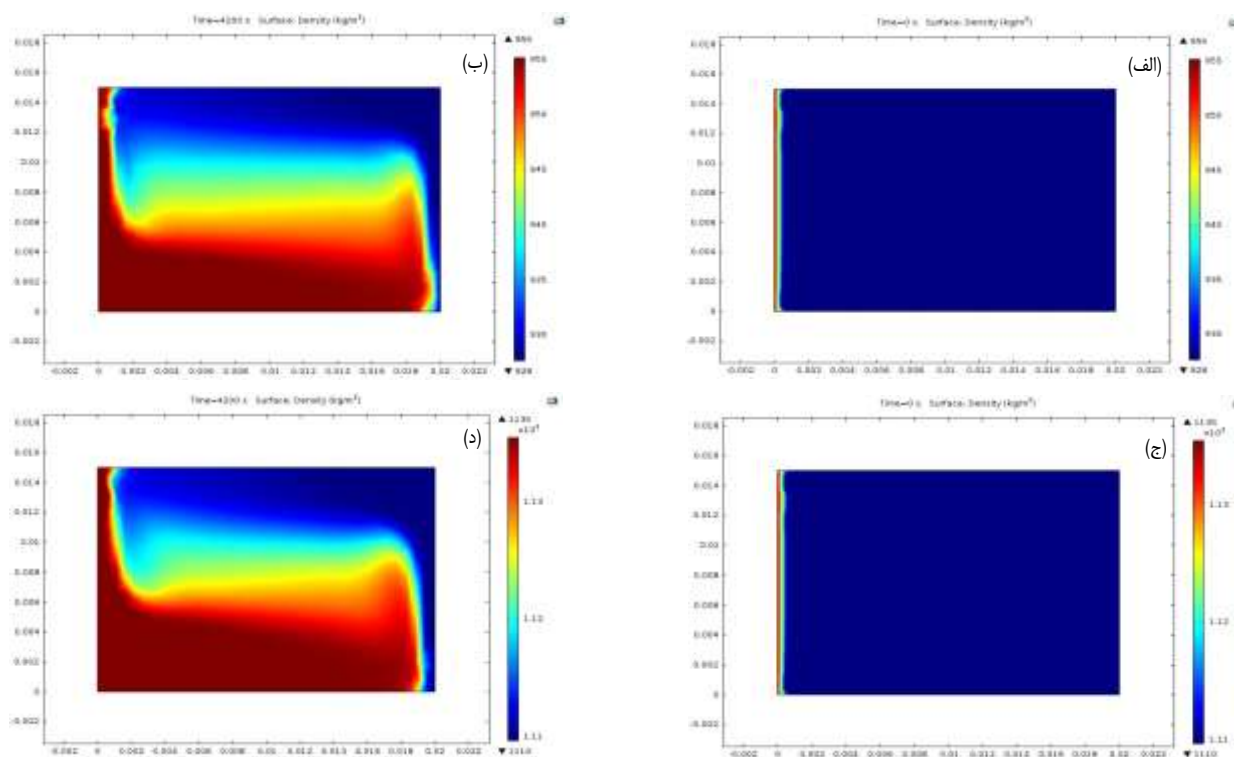
شکل ۴- توزیع دما در ۲٪ وزنی (الف، ب، ج) و ۸٪ وزنی (د، و، ه) نانوکامپوزیت آهن اکسید در زمان‌های صفر، ۳۰۰ و ۴۲۰۰ ثانیه.



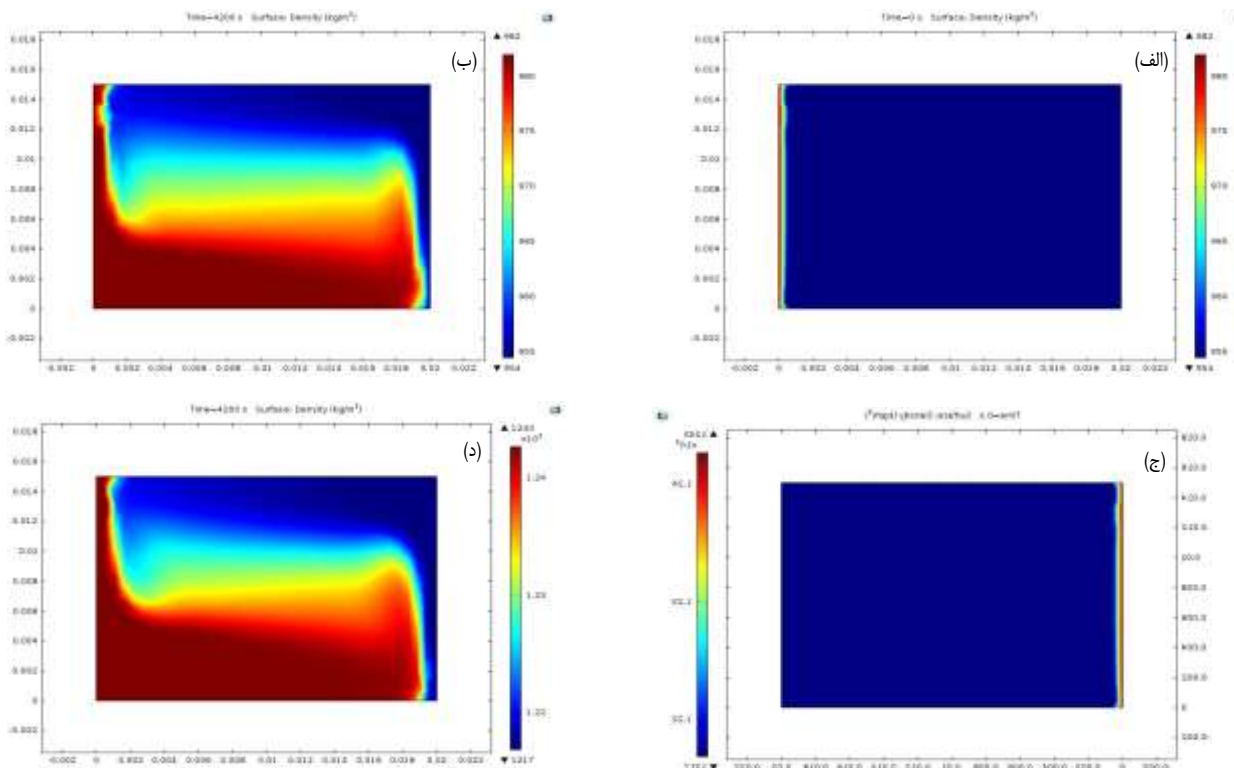
شکل ۵ - توزیع دما در ۲٪ وزنی (الف، ب، ج) و ۸٪ وزنی (د، و، ۵) نانوکامپوزیت سیلیس اکسید در زمان‌های صفر، ۳۰۰ و ۴۲۰۰ ثانیه.



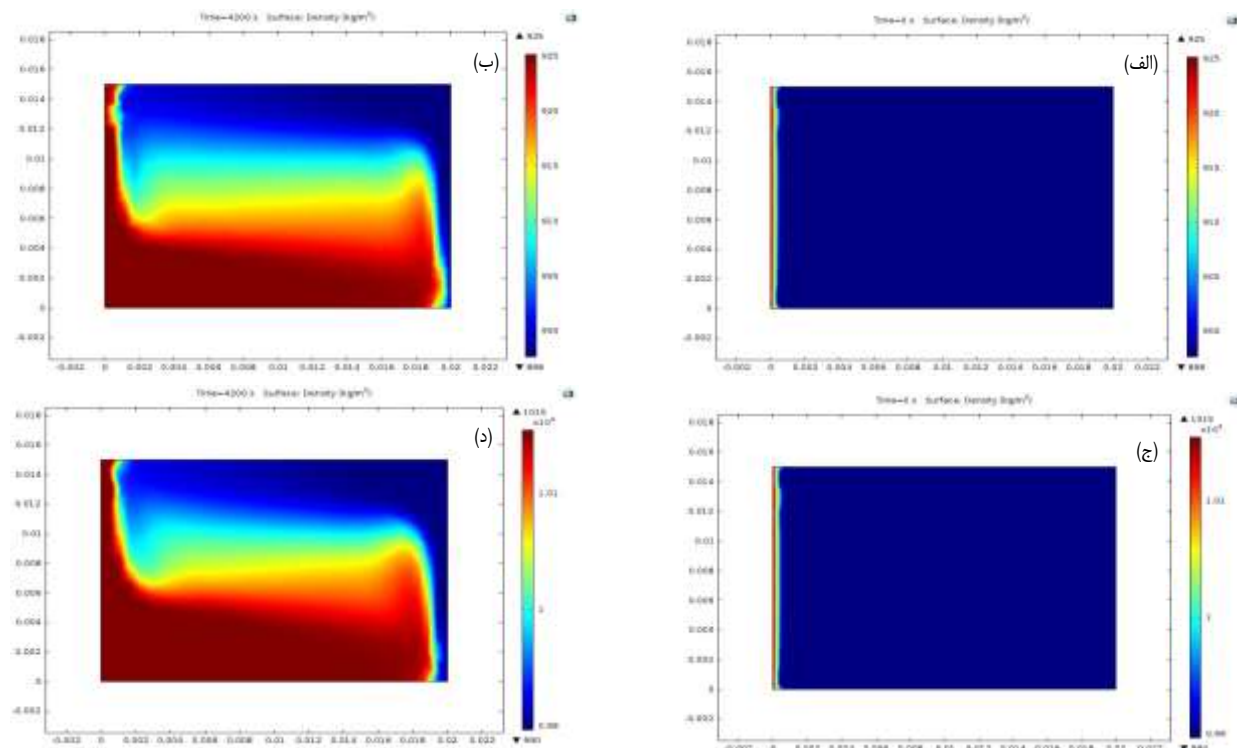
شکل ۶- توزیع دما در ۲٪ وزنی (الف، ب، ج) و ۸٪ وزنی (د، و، ۵) نانوکامپوزیت روی اکسید در زمان‌های صفر، ۳۰۰ و ۴۲۰۰ ثانیه.



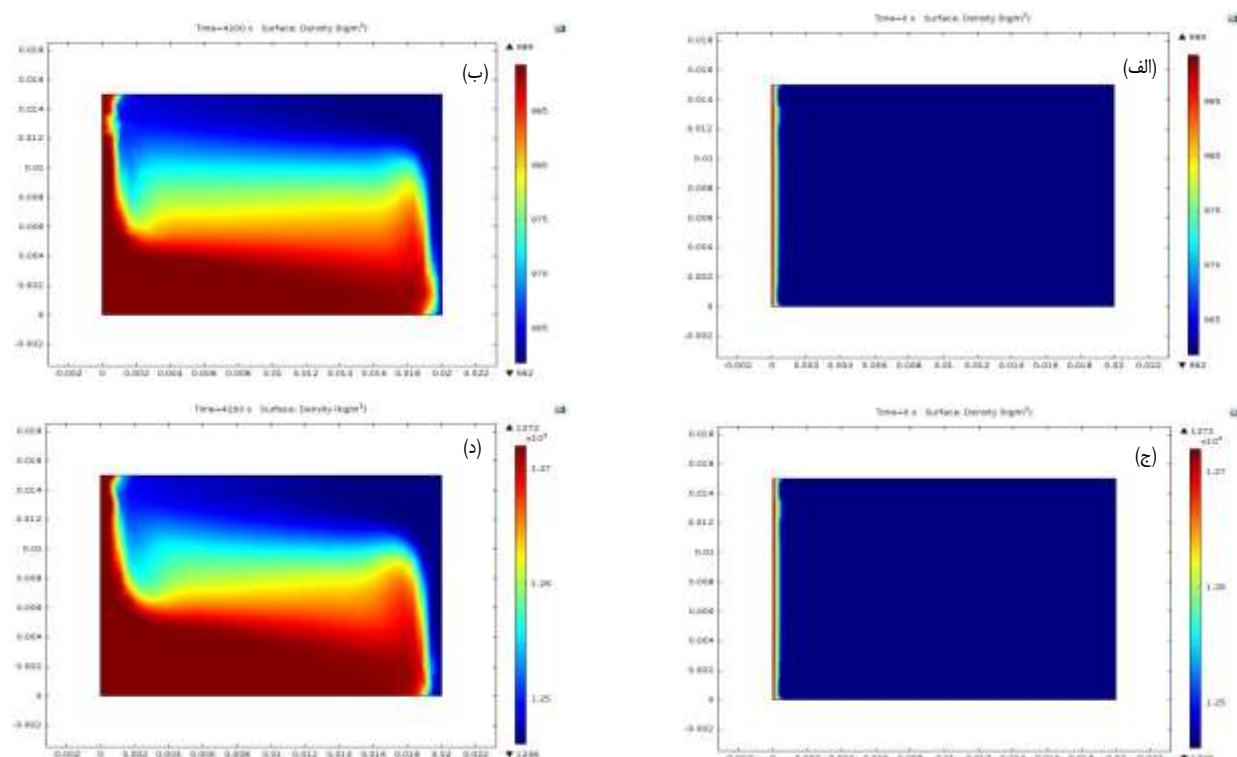
شکل ۷ - توزیع دانسیته در ۲٪ وزنی (الف و ب) و ۸٪ وزنی (ج و د) نانوکامپوزیت آلومینیوم اکسید در زمان‌های صفر و ۴۲۰۰ ثانیه.



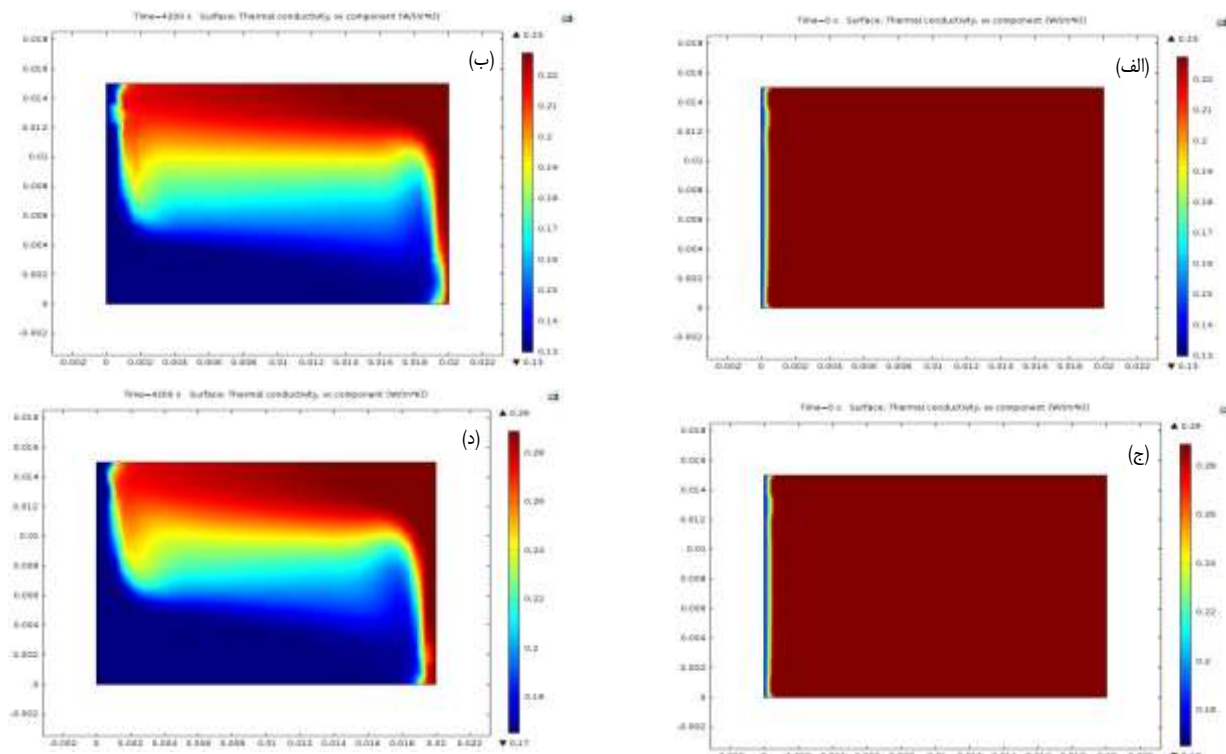
شکل ۸ - توزیع دانسیته در ۲٪ وزنی (الف و ب) و ۸٪ وزنی (ج و د) نانوکامپوزیت آهن اکسید در زمان‌های صفر و ۴۲۰۰ ثانیه.



شکل ۹ - توزیع دانسیته در ۲٪ وزنی (الف و ب) و ۸٪ وزنی (ج و د) نانوکامپوزیت سیلیس اکسید در زمان‌های صفر و ۴۰۰۰ ثانیه.



شکل ۱۰ - توزیع دانسیته در ۲٪ وزنی (الف و ب) و ۸٪ وزنی (ج و د) نانوکامپوزیت روی اکسید در زمان‌های صفر و ۴۰۰۰ ثانیه.



شکل ۱۱ - ضریب هدایت حرارتی در ۲٪ وزنی (الف و ب) و ۸٪ وزنی (ج و د) نانوکامپوزیت آلومینیوم اکسید در زمان‌های صفر و ۴۲۰۰ ثانیه.

گرفته شده است و در  $\frac{dq}{dx}$  ثابت طبق قانون فوريه ( $q = -kA\frac{dT}{dx}$ )، اگر افزایش یابد میزان  $k$  (ضریب هدایت گرمایی) کاهش خواهد یافت. این بدین منظور هست که با ذوب شدن پارافین، ارتعاش مولکولی (یکی از عامل‌ها و مکانیسم‌های انتقال گرمایی هدایتی در جامدها) کمتر می‌شود که باعث کاهش ضریب هدایت گرمایی نانوکامپوزیت‌ها می‌شود. همچنین با افزایش درصد وزنی نانوذرهای، ضریب هدایت گرمایی افزایش خواهد یافت [۱۶، ۱۹]. این هم، به این خاطر است که طبق جدول ۱ نانوذرهای اکسیدهای فلزی، ضریب هدایت گرمایی بالاتری نسبت به پارافین خالص دارند و هر چقدر درصد وزنی این نانوذرهای بیشتر شود ضریب هدایت گرمایی نانوکامپوزیت‌ها بیشتر خواهد شد. در این قسمت، بیشترین افزایش مربوط به نانوکامپوزیت آلومینیوم اکسید هست. درنتیجه به عنوان نانوکامپوزیت بهینه انتخاب می‌شود.

### نتیجه‌گیری

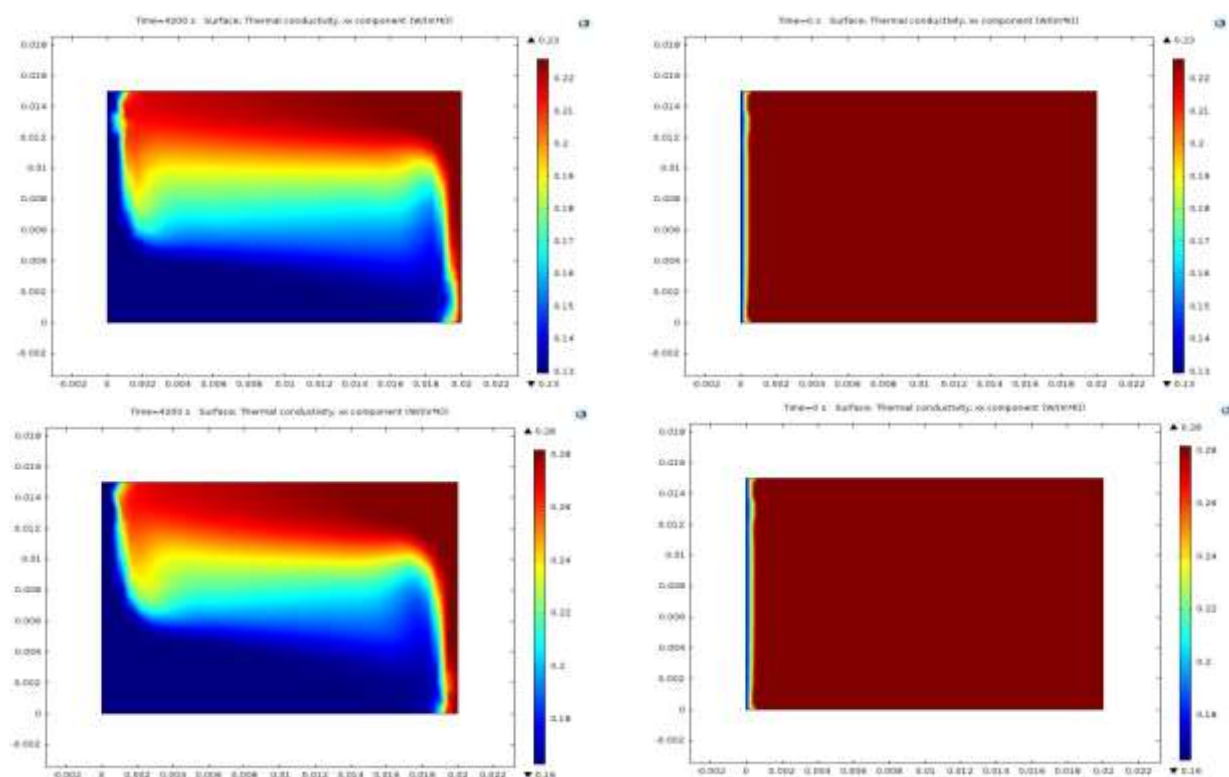
مواد تغییرفازدهنده، منبع خوبی برای ذخیره‌سازی انرژی و مدیریت گرمایی می‌باشند. با وجود همه برتری‌ها، یکی از عیوب‌های اصلی

چون طبق جدول ۱ نانوذرهای اکسیدهای فلزی، دانسیته بالایی دارند و هر چقدر درصد وزنی آن‌ها در درون پارافین بیشتر شود باعث افزایش دانسیته نانوکامپوزیت می‌شوند.

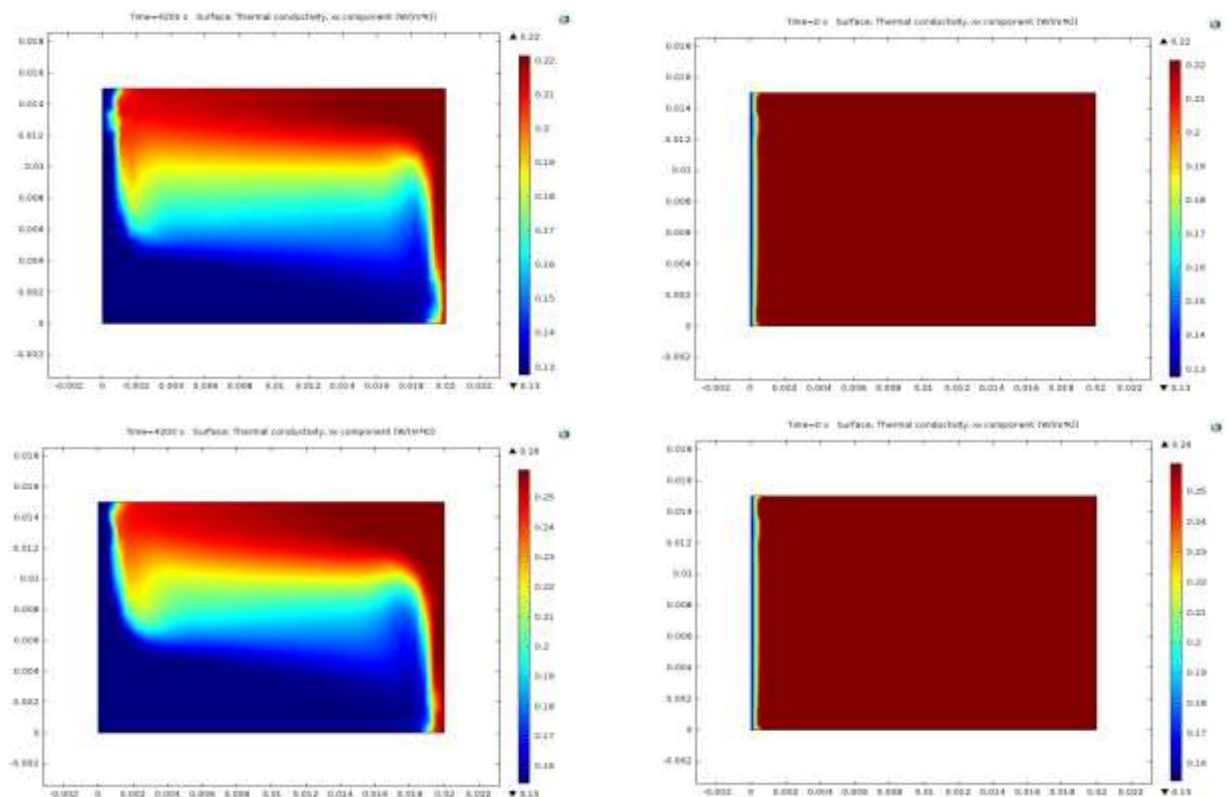
### (ج) تغییرهای ضریب هدایت گرمایی

شکل‌های ۱۱، ۱۲، ۱۳ و ۱۴ به ترتیب نمودار تغییرهای ضریب هدایت گرمایی در حضور نانوذرهای آلومینیوم اکسید، آهن اکسید، سیلیس اکسید و روی اکسید با ۲٪ وزنی (الف و ب) و ۸٪ وزنی (ج و د) داخل پارافین را در سه زمان متفاوت نشان می‌دهند.

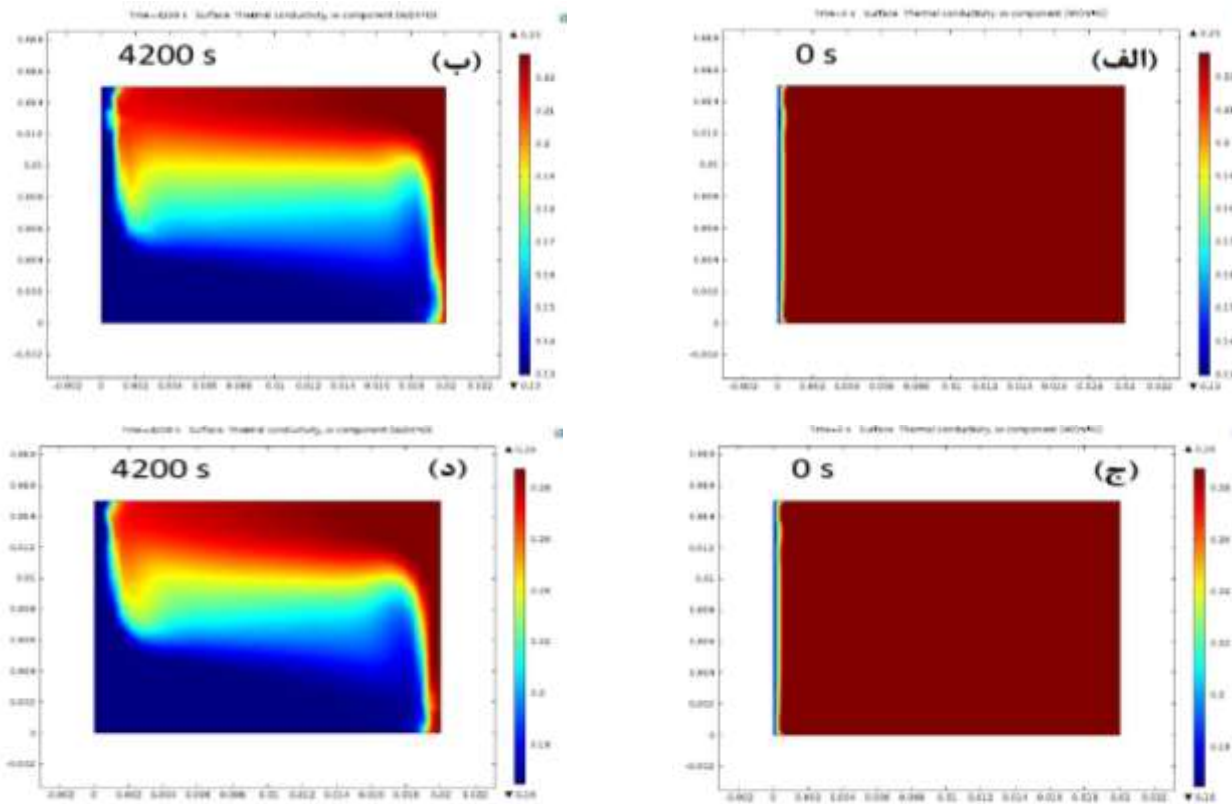
ضریب هدایت گرمایی، یکی از ویژگی‌های اصلی مواد تغییرفازدهنده است، زیرا نرخ ذخیره‌سازی و انتقال گرما به این عامل بستگی دارد. مواد تغییرفازدهنده برای ذخیره‌سازی و انتقال انرژی گرمایی در محیط‌های گوناگونی استفاده می‌شوند که در آن‌ها تغییرهای دمایی وجود دارد. بنابراین، مهم است که ضریب هدایت گرمایی PCM معلوم باشد. همان‌گونه که در این نمودارها دیده می‌شود، با گذشت زمان، ضریب هدایت گرمایی نانوکامپوزیت‌ها از سمت چپ رو به کاهش است و این کاهش به دلیل افزایش تغییرهای دما می‌باشد. چون میزان شار انتقال گرما ثابت درنظر



شکل ۱۲ - ضریب هدایت حرارتی در ۲٪ وزنی (الف و ب) و ۸٪ وزنی (ج و د) نانوکامپوزیت آهن اکسید در زمان‌های صفر و ۴۲۰۰ ثانیه.



شکل ۱۳ - ضریب هدایت حرارتی در ۲٪ وزنی (الف ب) و ۸٪ وزنی (ج و د) نانوکامپوزیت سیلیس اکسید در زمان‌های صفر و ۴۲۰۰ ثانیه.



شکل ۱۴ - ضریب هدایت حرارتی در ۲٪ وزنی (الف و ب) و ۸٪ وزنی (ج و د) نانوکامپوزیت روی اکسید در زمان‌های صفر و ۴۲۰۰ ثانیه.

نانوذره‌ها، نرخ ذوب شدن نانوکامپوزیتها افزایش یافته و کسر پیشتری از این نانوکامپوزیتها، به مایع تبدیل شده است که به علت بهبود ضریب هدایت گرمایی نانوکامپوزیتها، با افزایش درصد وزنی نانوذره‌ها می‌باشد. ج) در استفاده از مواد تغییرفازدهنده، باید از مقدار بهینه نانوذره‌ها برای بهبود ضریب هدایت گرمایی آن‌ها استفاده کرد. همچنین با افزایش درصدوزنی نانوذره‌ها، ضریب هدایت گرمایی نانوکامپوزیتها افزایش خواهد یافت. نتیجه‌های این پژوهش نشان داد که می‌توان به کمک نانوذره‌ها، عیوب‌های مواد تغییر فازدهنده را تا حد زیادی بهبود بخشید که این امر می‌تواند در مدیریت گرمایی سامانه‌های گوناگون استفاده شود.

#### فهرست نمادها

آهنگ انرژی تولید شده در واحد حجم به وسیله چشمی گرمایی	$\dot{q}$
گرمایی ویژه ماده	$c$
ضریب هدایت گرمایی	$k$
چگالی ماده	$\rho$

تاریخ دریافت: ۱۳۹۶/۱۱/۱۹؛ تاریخ پذیرش: ۱۳۹۶/۹/۲۱

مواد تغییرفازدهنده، پایین بودن میزان هدایت گرمایی آن‌ها می‌باشد. در این پژوهش، نانوذره‌های گوناگون اکسید فلزی به پارافین خالص افزوده شد و ویژگی‌های گوناگون آن‌ها شبیه‌سازی شد. نتیجه‌های این پژوهش عبارتند از: (الف) با افزودن نانوذره‌ها به سامانه، می‌توان ضریب هدایت گرمایی پارافین را بهبود بخشید. با مقایسه ضریب هدایت گرمایی ترکیب بدون نانوذره (پارافین خالص) و نانوکامپوزیت‌های ۲٪ و ۸٪ وزنی از نانوذره‌ها، این نتیجه به دست آمد که وجود نانوذره‌ها باعث افزایش ضریب هدایت گرمایی کامپوزیت تا ۱۲۵٪ شده است. (ب) در هر نانوکامپوزیت، مواد تغییرفازدهنده از سمت چپ گرم می‌شود (طبق هندسه سامانه) و مکانیسم اولیه انتقال گرما به صورت انتقال گرمایی هدایتی است. با پیشرفت زمان، سرعت انتقال گرما در نانومواد تغییرفازدهنده در نواحی دیواره سمت چپ، بیشتر شده و گرم می‌شوند. درنتیجه ذوب شدن این نانومواد آغاز می‌شود. در این مرحله، انتقال گرما جایه‌جایی آزاد در پارافین ذوب شده وجود دارد که باعث می‌شود مواد ذوب شده (با چگالی کمتر) به سمت بالا حرکت کنند. پس ناحیه بالای سمت چپ، گرمتر می‌شود. در بازه‌ی دمایی ۳۰۴ تا ۳۱۶ درجه کلوین، با افزایش درصدوزنی

## مراجع

- [۱] باباپور، عزیز؛ بخشوده‌نیا، یاسر؛ بخشوده‌نیا، محمد؛ "مروی بر مدلسازی عددی و آنالیز کاربرد مواد تغییرفازدهنده در ساختمان جهت کاهش مصرف انرژی"، پنجمین کنفرانس انرژی‌های تجدیدپذیر، پاک و کارآمد، اسفند (۱۳۹۲).
- [۲] خامن، محمد؛ رضاخانی، ناصر؛ رجبی، مهدیه؛ زینالی دانالو، میرعلی اصغر؛ ارزیابی عملکرد سامانه ترکیبی آب گرم‌کن/آب شیرین کن خوشیدی خانگی، نشریه شیمی و مهندسی شیمی ایران، ۳۴(۳) ۹۱ تا ۱۰۲ (۱۳۹۴).
- [۳] باباپور، عزیز؛ مسعودی ریحان، مهدیه؛ "مروی بر مواد تغییر فاز دهنده به عنوان منبع ارزشمند انرژی"، پنجمین کنفرانس انرژی‌های تجدیدپذیر، پاک و کارآمد، اسفند (۱۳۹۲).
- [4] Babapoor A., Karimi G., Thermal Properties Measurement and Heat Storage Analysis of Paraffin-Nanoparticles Composites Phase Change Material: Comparison and Optimization, *Appl. Therm. Eng.*, **90**: 945-951 (2015).
- [5] Pielichowska K., Pielichowski K., Phase Change Materials for Thermal Energy Storage, *Prog. Mater. Sci.*, **65**: 67–123 (2014).
- [6] Babapoor A., Azizi M.M., Karimi G., Thermal Management of a Li-Ion Battery Using Carbon Fiber-PCM Composites, *Appl. Therm. Eng.*, **82**: 281–290 (2015).
- [7] Samimi F., Babapoor A., Azizi M.M., Karimi G., Thermal Management Analysis of a Li-Ion Battery Cell Using Phase Change Material Loaded with Carbon Fibers, *Energy*, **96**: 355-371 (2016).
- [8] Babapoor A., Karimi G., Khorram M., Fabrication and Characterization of Nanofiber-Nanoparticle-Composites with Phase Change Materials by Electrospinning, *Appl. Therm. Eng.* **99**: 1225-1235 (2016).
- [9] Babapoor A., Karimi G., Sabbaghi S., Thermal Characteristic of Nanocomposite Phase Change Materials During Solidification Process, *J. Energy Storage*, **7**: 74-81 (2016).
- [10] Karimi G., Azizi M.M., Babapoor A., Experimental Study of a Cylindrical Lithium Ion Battery Thermal Management Using Phase Change Material Composites, *J. Energy Storage*, **8**: 168-174 (2016).
- [11] Babapoor A., Karimi G., Golestaneh S.I., Ahmadi Mezjin M., Coaxial Electro-Spun PEG/PA6 Composite Fibers: Fabrication and Characterization, *Appl. Therm. Eng.*, **118**: 398-407 (2017).
- [12] Cai L., White R.E., Mathematical Modeling of a Lithium Ion Battery with Thermal Effects in COMSOL Inc. Multiphysics (MP) Software, *J. Power Sources*, **196**: 5985–5989 (2011).
- [13] Wang J., Xie H., Guo Z., Li Y., Improved Thermal Properties of Paraffin Wax by the Addition of TiO<sub>2</sub> Nanoparticles, *Appl. Therm. Eng.*, **73**: 1541-1547 (2014).
- [14] Ho C.J., Gao J.Y., Preparation and Thermophysical Properties of Nanoparticle in Paraffin Emulsion as Phase Change Material, *Int. Commun. Heat Mass Transfer*, **36**: 467-470 (2009).

- [15] Valan Arasu A., Mujumdar A.S., Numerical Study on Melting of Paraffin Wax with  $\text{Al}_2\text{O}_3$  in a Square Enclosure, *Int. Commun. Heat Mass Transfer*, **39**: 8–16 (2012).
- [۱۶] کریمی، هجیر؛ سبزه میدانی، محمدمهردی؛ مطالعه عددی تأثیر عامل‌های هندسی بر انتقال گرمای نانوسيال آب –  $\text{Al}_2\text{O}_3$  در یک میکروکانال، نشریه شیمی و مهندسی شیمی ایران، **۳۵**(۴): ۱۳۷ تا ۱۵۰ (۱۳۹۵).
- [17] Kaplan F., Vivero C.D., Howes S., Arora M., Homayoun H., Burleson W., Tullsen D., Coskun A.K., “Modeling and Analysis of Phase Change Materials for Efficient Thermal Management”, University Boston, (2014).
- [18] Pryor R.W., “Modeling Materials through a Phase Transition: Using COMSOL Multiphysics and Applying Physics First Principles Techniques”, Excerpt from the Proceedings of the COMSOL Conference, Boston (2007).
- [۱۹] اتابکی، فریبرز؛ یوسفی، محمد حسن؛ آل کرم، ایمان؛ بررسی و بهبود رسانایی پلی (۴،۳-اتیلن دی اکسی تیوفن): پلی (استایرن سولفونیک اسید) (PEDOT:PSS) با افزودن نانوذرات نقره و مایع یونی ۲- متیل ایمیدازولیوم، نشریه شیمی و مهندسی شیمی ایران، **۳۵**(۴): ۳۹ تا ۴۸ (۱۳۹۵).